

УДК 517.987

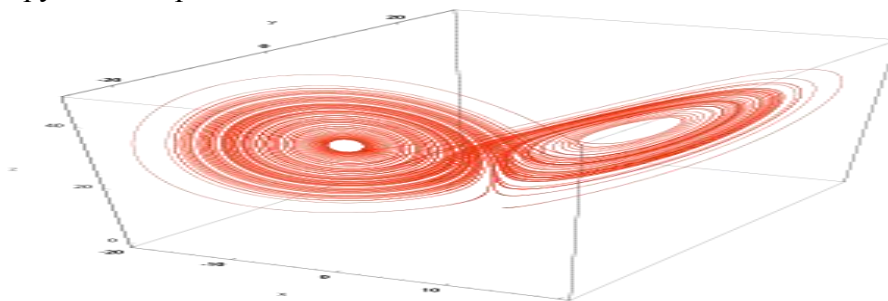
**АЛГОРИТМ ПОИСКА АТТРАКТОРА ДИНАМИЧЕСКОЙ СИСТЕМЫ
ОБЩЕГО ВИДА.****Вейцблит А. И.****Херсонский государственный университет**

В статье представлен алгоритм, позволяющий эффективно найти аттрактор любой динамической системы с учётом её неустранимых случайных флуктуаций.

Ключевые слова: исследование, вычисление, динамика, алгоритм, аттрактор, флуктуация.

Одной из основ учебного курса “Методы вычислений” является изучение динамики обыкновенных дифференциальных уравнений общего вида, т.е. изучение зависимости их решений от аргумента t [1]. Эти исследования важны в радиофизике, макроэкономике, химической кинетике, популяционной биологии и других дисциплинах [2], [3]. Такая задача требует значительного объёма вычислений, что и реализует представленный далее алгоритм. Основная идея, на которой он основан – изначально учитывать случайные флуктуации, которые всегда являются неотъемлемой составляющей реальной динамики. Точнее говоря, предполагается, что на динамику, задаваемую данным дифференциальным уравнением, накладывается случайный “белый шум” [2] с заданной дисперсией d за время шага Δt . В совокупности такая динамическая система является марковским каскадом [4], [5], она сколь угодно точно аппроксимируется марковской цепью, а для динамики, заданной на компакте, конечной марковской цепью. Это довольно простая структура, для которой можно строить эффективные алгоритмы исследования конкретных систем и существует ясная общая структурная теория. При $d \rightarrow 0$ все результаты, полученные для марковских цепей, равномерно сходятся к соответствующим результатам для заданного марковского каскада.

Первоочередная задача – найти аттрактор динамической системы. Аттрактор – это ключевое понятие теории динамических систем. Физический смысл аттрактора в том, что это “пространство установившихся режимов” [6]. В простых традиционных примерах аттракторы представляют собой объединение конечного числа неподвижных точек фазового пространства и замкнутых кривых, на которых происходят циклические процессы. Однако главный интерес представляют очень сложно устроенные так называемые “странные аттракторы” [2], [3]. На рисунке изображён такой пример [7] – трёхмерный аттрактор системы Лоренца, используемой в метеорологии. Это фрактал [8], имеющий дробную размерность с чрезвычайно сложной турбулентной динамикой, в значительной степени объясняющей трудности предсказания погоды.



Важно то, что для любой марковской цепи её аттрактор определён однозначно. При $d \rightarrow 0$ эти аттракторы равномерно сходятся к аттрактору заданного марковского каскада. Формально указанная аппроксимация и оценки сходимости описываются следующими утверждениями.

Определение 1. Пусть Δ_i – это ячейки некоторого разбиения фазового пространства данной динамической системы диаметром ε . Тогда дискретизацией марковского каскада с переходной функцией $P(y, A)$ и начальным абсолютно непрерывным состоянием μ_0 будем называть марковскую цепь N с вероятностями перехода из Δ_i в Δ_j равными $p_{ij} = \frac{1}{\mu_0(\Delta_i)} \int_{y \in \Delta_j} P(y, \Delta_j) d\mu_0$ и начальными значениями $p_i = \mu_0(\Delta_i)$.

Пусть $P(\mu_t) = \mu_t(N) = \mu_{t+\Delta t}$ в момент времени $t + \Delta t$, $\mu_t|_{t=0} = \mu_0$.

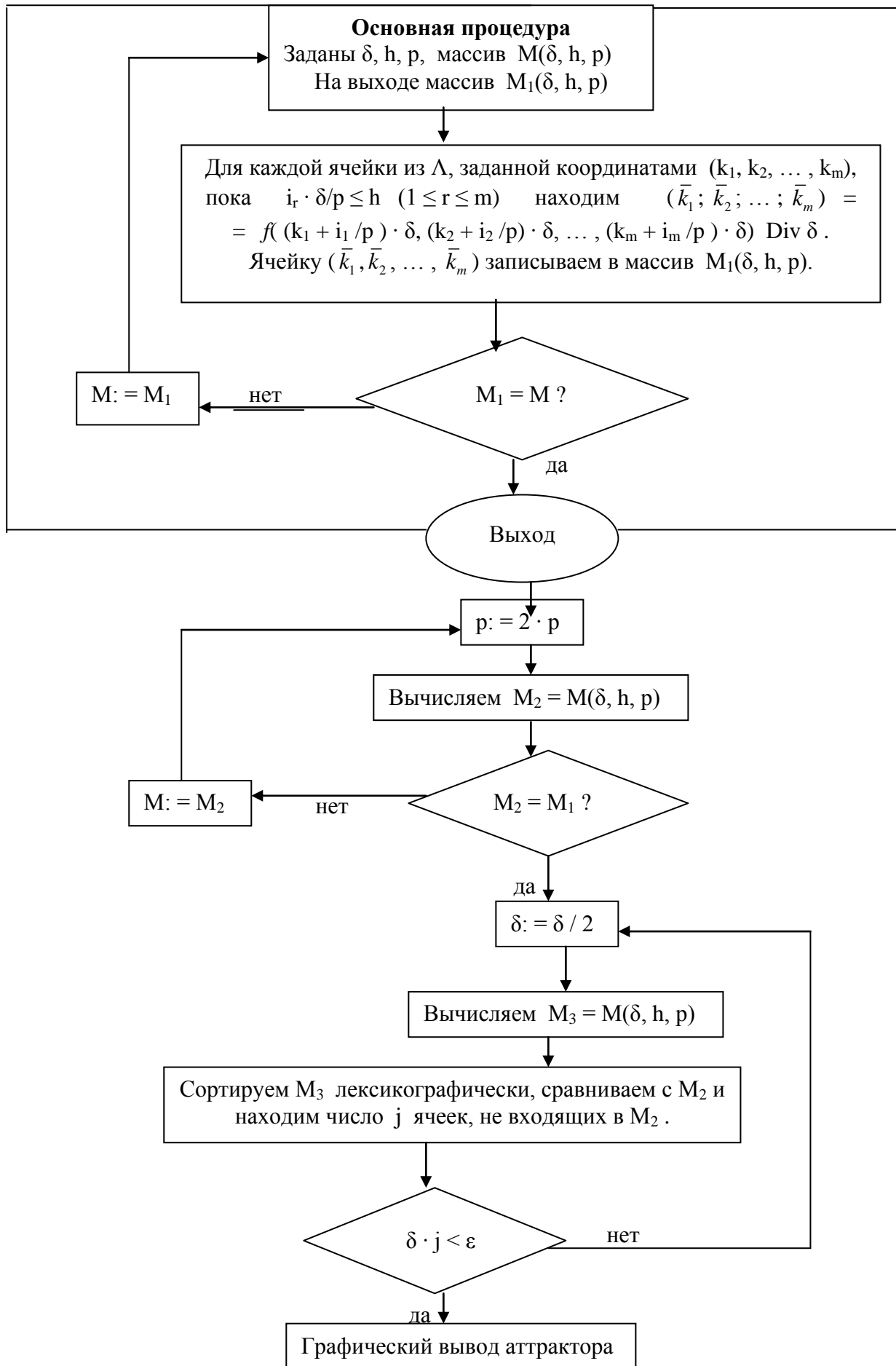
Утверждение 1. При всех достаточно малых ε распределение μ_t в момент времени t и распределение её дискретизации μ_t^Δ в это время отличаются друг от друга лишь на величину порядка ε : $|\varphi(\mu_t) - \varphi(\mu_t^\Delta)| < A\varepsilon$ ($0 \leq t < \infty$), где φ – произвольная “наблюдаемая”, т. е. непрерывная ограниченная функция на M , A – константа, задаваемая данной динамической системой.

Утверждение 2. Аттрактор дискретизации марковского каскада с ячейками диаметром ε равномерно сходится к аттрактору самого марковского каскада при $\varepsilon \rightarrow 0$.

Таким образом, и для заданного марковского каскада аттрактор определён безальтернативно. Как и для конечной марковской цепи этот аттрактор состоит, вообще говоря, из нескольких непересекающихся инвариантных (базисных) подмножеств, а базисные множества из связных непересекающихся подмножеств, циклически переставляемых динамикой марковского каскада. (Можно показать, что именно эта циклическая структура и объясняет явление спина в квантовой механике [9]). Утверждение 2 в частности означает, что при достаточно малых ε стабилизируется число связных компонент аттракторов соответствующих дискретизаций, а их притягивающие области будут изменяться непрерывно с уменьшением ε .

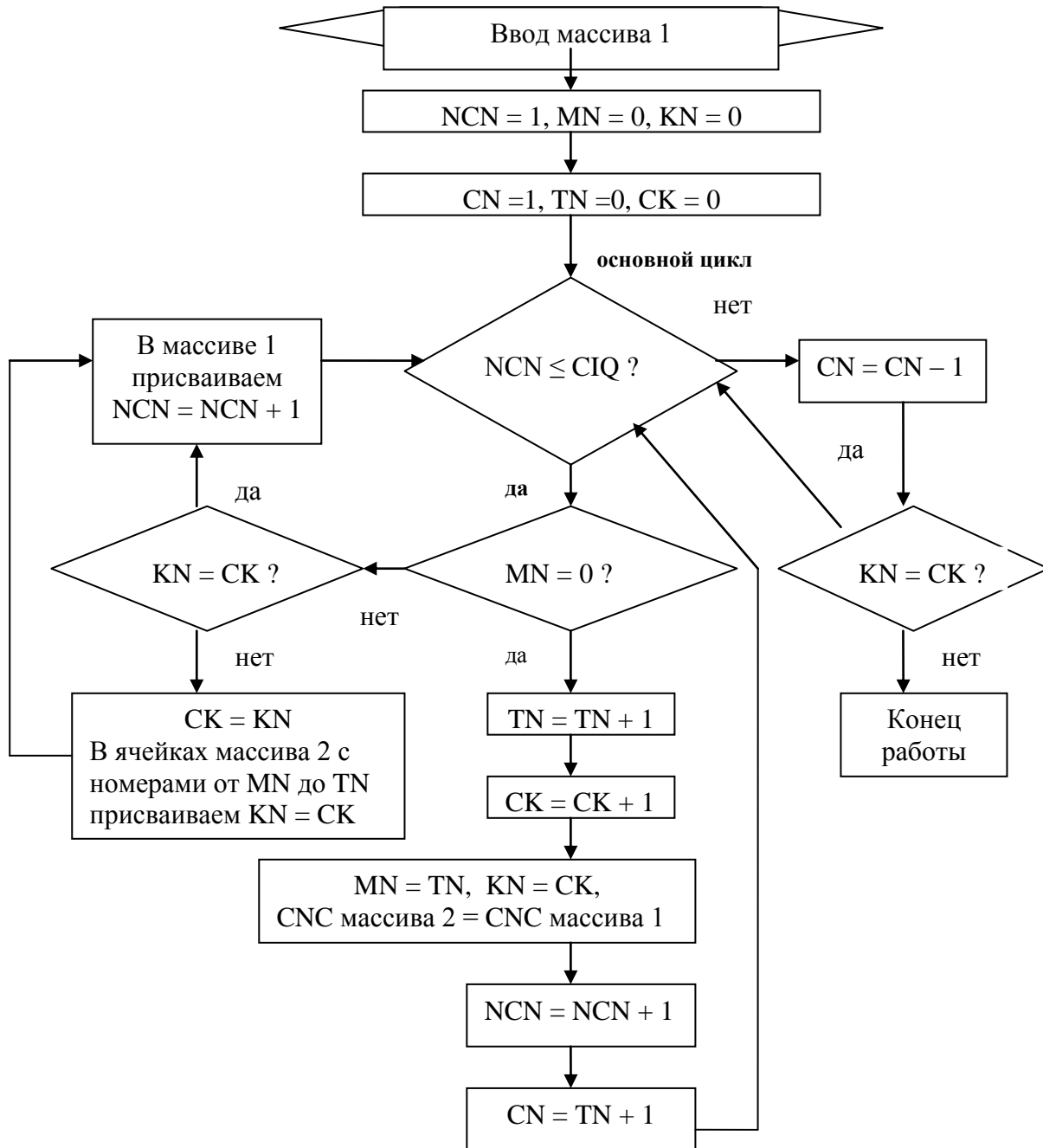
Рассмотрим алгоритм поиска аттрактора марковского каскада с заданной точностью ε . Пусть задано разбиение фазового пространства на ячейки Δ_i диаметром $\leq \varepsilon/A$, где A – это константа из утверждения 1. На множестве ячеек Δ_i дискретизация марковского каскада индуцирует символическую динамику (в данном случае, очевидно, это динамика топологической марковской цепи, для которой ячейки Δ_i являются состояниями). На пространстве состояний Δ_i вводится транзитивное отношение квазипорядка: $\Delta_i \prec \Delta_j$, если существует некоторая траектория символической динамики из Δ_i в Δ_j . Состояние Δ_i называется возвратным, если $\Delta_i \prec \Delta_i$. Возвратные состояния разбиваются на классы эквивалентности: $\Delta_i \sim \Delta_j \Leftrightarrow \Delta_i \prec \Delta_j \prec \Delta_i$. Тогда аттрактор марковского каскада с точностью ε состоит из классов эквивалентности возвратных состояний. Таким образом, если $\Omega = \{\Delta_i\}$ – это всё фазовое пространство ε – дискретизации N заданного марковского каскада, т.е. совокупность всех ячеек диаметром $\leq \varepsilon/A$, то $N(\Omega) \supset N^2(\Omega) \supset N^3(\Omega) \supset \dots \supset N^n(\Omega)$. А если $N^n(\Omega) = N^{n+1}(\Omega)$, то $N^n(\Omega)$ – это аттрактор ε – дискретизации марковского каскада, т.е. это аттрактор самого марковского каскада с точностью ε .

На этом и основан алгоритм. Предполагается, что исходная динамика задаётся разностным уравнением $x_{n+1} = f(x_n)$, где x_n – точка исходного фазового пространства. (После описания основного алгоритма будет изложен способ перехода от заданного обыкновенного дифференциального уравнения к используемому здесь разностному). Кроме того, заданы изначально параметры ε , как критерий оценки точности сходимости аттрактора дискретизации к аттрактору самого марковского каскада, и d – дисперсия случайных флуктуаций или $h = \sqrt{d}$ – их среднеквадратичное отклонение. С целью определения динамики марковской цепи – дискретизации заданного марковского каскада – в каждой ячейке Δ_i по решётке p^m её точек x_j (где p – некоторое натуральное число, m – размерность фазового пространства) найдём $y_j = f(x_j)$. И тогда ячейка $\Delta_k \in N(\Delta_i)$, если $y_j = f(x_j) \in \Delta_k$ для некоторой точки $x_j \in \Delta_i$. Начальные значения числа p и длина стороны ячейки δ предполагаются в начале заданными, а далее уточняются. Основная процедура по массиву $M(\delta, h, p)$ занумерованных ячеек из некоторого их набора Λ находит массив



$M_1(\delta, h, p)$, содержащий все ячейки из набора $H(\Lambda)$. Если $H(\Lambda) \neq \Lambda$, то находим $H^2(\Lambda), H^3(\Lambda), \dots$. Если $H^n(\Lambda) = H^{n+1}(\Lambda)$ при некотором n , то соответствующий $H^n(\Lambda)$ массив $M_1(\delta, h, p)$ является выходным. Далее следует принципиальная блок – схема алгоритма. В её обозначениях x_r – это r – я координата фазового пространства ($1 \leq r \leq m$). Каждая ячейка задаётся набором m целочисленных координат k_r , так что некоторая крайняя точка этой ячейки имеет координаты $x_r = \delta \cdot k_r$ (при $m = 2$ это её левая нижняя точка).

В таком простейшем виде этот алгоритм не эффективен: хотя целью является аттрактор, но обрабатываются все без исключения ячейки из фазового пространства. Поэтому далее предлагается и усовершенствованный подход, позволяющий обрабатывать только ячейки, расположенные на траектории от начальной ячейки к аттрактору.



Действительно, минимально возможная оценка числа t операций это $t \leq N \cdot H \cdot n$, где N – число всех ячеек фазового пространства, n – число классов эквивалентности возвратных состояний ячеек, H – максимум числа ячеек в образе $H(\Delta_i)$, Δ_i пробегает фазовое пространство. Даже оценка числа операций снизу не лучше, чем $t \geq A \cdot H \cdot n$, где A – число ячеек на аттракторе. В принципиальной блок – схеме более эффективного

алгоритма предполагается, что количество ячеек CIQ, в которые можно попасть из ячейки Δ_i этой траектории за один шаг и список этих ячеек вычисляются в соответствии с ранее приведённым алгоритмом. Итак, пусть рассматриваемую символическую динамику на множестве состояний Δ_i задаёт следующий

Массив 1:

1. Номер ячейки – CNC (т.е. для ячейки Δ_i CNC = i).
2. Количество ячеек, в которые можно попасть из ячейки CNC по некоторой траектории символической динамики за один шаг – CIQ.
3. Список этих ячеек – ICL.
4. Номер первой из них, ещё не рассмотренной программой – NCN.
5. Номер ячейки CNC в следующем массиве 2, ставящем ячейке в соответствие её класс эквивалентности возвратных состояний – MN.

Массив 2:

1. Номер ячейки в массиве – MN.
2. Номер класса этой ячейки – KN.
3. Номер этой ячейки в массиве 1 – CNC.

Кроме того, используются следующие переключатели: 1) CN – текущий номер рассматриваемой ячейки 2) общее число ячеек, уже рассмотренных программой – TN; 3) текущий номер класса – СК. Тогда следующая блок – схема описывает алгоритм программы, которая по заданному массиву 1 получает в массиве 2 некоторый класс эквивалентности возвратных состояний, содержащийся тем самым в аттракторе ДКМ с точностью ε – это все ячейки массива, для которых значение KN максимально.

Теперь покажем, как перейти от непрерывной динамики, задаваемой данной системой дифференциальных уравнений, к динамике марковского каскада, задаваемой разностными уравнениями. Этот вывод будет производиться из единственного предположения, которое сформулировано в начале статьи. А именно предполагается, что на динамику, задаваемую данным дифференциальным уравнением, накладывается неустраняемый случайный “белый шум” с заданной дисперсией.

Заметим: физики давно знают подлинную причину квантовых эффектов. Она в том, что невозможно измерять точнее, чем это допускают размеры и тепловое движение атомов, из которых состоят измерительные приборы. Не удивительно поэтому, что получаемая далее динамика тесно связана с квантовой. Можно однако строго доказать, что хотя традиционно квантовые системы описывают математически не марковскими каскадами, а уравнениями в частных производных, однако для основных примеров эти два подхода эквивалентны.

Итак, пусть $p(x)$ – это n – мерное гладкое векторное поле на n – мерном гладком римановом многообразии M , где $x(x_1, x_2, \dots, x_n) \in R^n$ – локальные евклидовы координаты на M , $p_i(x) \in C^\infty(R^n)$ ($i = 1, \dots, n$). На каждой фазовой кривой $x(t) \in M$ динамической системы, порожденной этим векторным полем:

$$\frac{dx_i}{dt} = p_i(x) \quad (i = 1, \dots, n) \quad (1)$$

рассмотрим интеграл “укороченного действия” $s(t) = \int_{x(t)} p(x) dx = \int_0^t \|p(\tau)\|^2 d\tau$, где

$\|p(\tau)\|^2 = \sum_{i=1}^n p_i^2(\tau)$. Величина $s(t)$ на каждой кривой $x(t)$, отличной от неподвижной точки,

диффеоморфно выражается через t и называется “оптическим временем“. Пусть ρ – такая метрика, что $s(t) = \int_{x(t)} d\rho: d\rho = \|p(t)\|^2 dt$. Расстояние d , пройденное точкой за время Δt по

траектории равно $d = \int_0^{\Delta t} \|p(\tau)\| d\tau = \|p(t_c)\| \cdot \Delta t$, где $p_c = p(t_0)$ - среднее значение ($0 \leq t_0 \leq \Delta t$).

(Конечно, это при условии однократного обхода траектории за время Δt , точки поворота – особый случай: в квантовой механике они учитываются с помощью индекса Морса; для экономических циклов это особо сложный случай, зависящий решающим образом от внешних (экзогенных) параметров динамической системы). Теперь мы предполагаем, что флуктуации порождают “белый шум” $\xi(t)$, действующий на конфигурационном пространстве с дисперсией $D\xi(t) = \sigma^2 t$, где коэффициент диффузии σ^2 предполагается константой на рассматриваемом промежутке времени. Тогда должно пройти некоторое время Δt , пока точка сместится на такое расстояние d от исходного положения, которое превысит среднеквадратичную ошибку, вызванную $\xi(t)$ за время Δt , т.е. $\|p_c\|\Delta t$ превысит $\sqrt{\sigma^2 \Delta t}$. При таком минимальном Δt $\|p_c\|\Delta t = \sigma\sqrt{\Delta t}$, откуда $\sigma^2 = \|p_c\|^2 \Delta t$ и, следовательно,

$$\Delta t = \frac{\sigma^2}{\|p_c\|^2}, \quad d = \|p_c\|\Delta t = \frac{\sigma^2}{\|p_c\|} \quad (2).$$

Здесь, по предположению, Δt – тот минимальный промежуток времени, по истечении которого появляется возможность произвести новое измерение, отличие которого от прежнего превысит погрешность, т.е. произвести значимо отличное измерение. Вследствие

$$(2) \quad \sigma^2 = \|p_c\|^2 \Delta t \approx \int_0^{\Delta t} \|p(\tau)\|^2 d\tau = s(\Delta t). \quad \text{Таким образом, вдали от точек поворота} \quad 1)$$

временной промежуток между ближайшими значимыми измерениями неизменен всюду по шкале оптического времени и равен σ^2 . (Другими словами расстояние между ними по метрике ρ равно σ^2). 2) За это время “белый шум” $\xi(t)$ порождает неустранимую случайную погрешность, среднеквадратичное отклонение которой равно d – расстоянию по траектории между ближайшими измерениями.

Итак, в качестве динамической квантовой модели (ДКМ) для данной динамической системы следует взять такую, которая каждую точку сначала сдвигает по фазовой кривой данной динамической системы за оптическое время порядка σ^2 (или на ρ – длину σ^2), а затем случайным образом смещается на длину, в среднем равную расстоянию по траектории от исходной до новой точки.

Пример. Пусть динамическая система задаётся разностным уравнением $\Delta x(t+1) = f(x(t))$, где $\Delta x(t+1)$ – смещение по переменной x за единичное время от момента t до $t+1$. Соответствующий дифференциальный аналог $\dot{x} = f(x)$; пусть $f(x) = U'(x)$. Если x_0 – локальный максимум потенциала U ($U'(x_0) = 0$, $U''(x_0) < 0$), то x_0 – устойчивая неподвижная точка данного уравнения. Если x – это объём производимой продукции, а $U(x)$ – прибыль предпринимателя при таком объёме, то эта динамическая система (крайне упрощённо) описывает [10], поведение максимизирующего прибыль предпринимателя. Теперь проквантуем эту динамическую систему, т.е. учтём неизбежные флуктуации. Эти флуктуации вызываются не только случайными отклонениями внешних (экзогенных) параметров, но и стремлением субъектов рынка учесть его динамику. Так если текущий рост равен $\Delta x(t)$, то при его учёте естественно в уравнение для $\Delta x(t+1)$ подставить не текущий доход $x(t)$, а $x(t) + \gamma \Delta x(t)$, где $\gamma \geq 0$ характеризует степень учёта динамики (от игнорирования при $\gamma = 0$ до $\gamma \approx 1$ при полном учёте). Тогда $\Delta x(t+1) = f(x + \gamma \cdot \Delta x(t))$, откуда $\Delta x(t+1) = k \cdot \Delta x(t) + f(x(t))$, где $k \approx \gamma \cdot f'(x)$ – “акселератор”. При $k = 1$ получаем уравнение $\Delta x(t+1) = \Delta x(t) + f(x(t))$, а $x''(t) = f(x) = \frac{dU(x)}{dx}$ – соответствующий

дифференциальный аналог – это консервативное уравнение с гамильтонианом $\frac{1}{2}(x')^2 + U(x)$. В общем случае уравнение диссипативно, а при $k > 1$ точка x_0 неустойчива, но в любом случае теперь решением является не неподвижная точка, а фазовая

кривая, т.е. квантование привело к переходу от стационарного поведения к динамическому. Именно такова причина возникновения экономических циклов в реальных моделях [11].

В заключение рассмотрим ДКМ, как случайный процесс $X(t, \omega)$, где t – время, $\omega = (x; \eta)$, $x \in M$ (фазовому многообразию), $\eta = \eta(t, x) \in M$ – произвольное гладкое поле на $R \times M$, по смыслу малое случайное отклонение на M , вызванное “белым шумом”: для данного η при каждой итерации в момент t динамика ДКМ задаётся диффеоморфизмом $G(x) + \eta(t, x)$. Гладкая реализация ДКМ – это по определению последовательность диффеоморфизмов $G_1(x) = G(x) + \eta(t_1, x), \dots, G_n(x) = G(x) + \eta(t_n, x), \dots$, где t_1, \dots, t_n, \dots – моменты итераций, η фиксировано и однозначно задаёт данную гладкую реализацию. Каждому $x = x_0 \in M$ гладкая реализация ДКМ однозначно ставит в соответствие траекторию: $x_1 = G_1(x_0), x_2 = G_2(x_1), \dots, x_n = G_n(x_{n-1}), \dots$ и случайный процесс $X(t_n, x_0, \eta) = x_n = G_n(x_{n-1})$. Таким образом, ДКМ $X(t, x, \eta)$ расслаивается на гладкие реализации, однозначно задаваемые полем $\eta(t, x)$. А элемент $\omega = (x, \eta)$ однозначно задаёт траекторию с началом в x для гладкой реализации, заданной полем η .

Напомним, что неравномерно полной гиперболической системой (НПГ-системой) называют динамическую систему с ненулевыми показателями Ляпунова для полной (по Лебегу) меры точек её фазового пространства [4].

Утверждение 3. Для полной меры гладких сечений ДКМ с точностью порядка h в период времени $0 < t < \frac{1}{h}$ для достаточно малых h каждое базисное множество аттрактора раскладывается в прямое произведение подмногообразия с НПГ – динамикой и нейтрального подмногообразия, на котором динамика устойчива по Ляпунову.

Таким образом, общего вида аттрактор ДКМ в некотором смысле устойчив: на нейтральном подмногообразии по Ляпунову, а на дополнительном при малых гладких возмущениях, т.е. структурно. Так как данную в опыте реальность в действительности описывает ДКМ, то для классической системы более сложная структура и, как следствие, отсутствие предела её ДКМ означает, что она не является адекватной, “не имеет физического смысла”. Отсюда **вывод:** предложенный в этой статье алгоритм позволяет эффективно исследовать на компьютере динамику произвольных динамических систем общего вида, т.е. любых реальных систем.

СПИСОК ИСПОЛЬЗОВАННЫХ ИСТОЧНИКОВ

1. Н. С. Бахвалов Численные методы т. 1. / – М.: “Наука”, 1973. – 631 с.
2. Ю. И. Наймарк, П. С. Ланда Стохастические и хаотические колебания / – М.: “Наука”, 1987. – 423 с.
3. В. И. Арнольд Дополнительные главы теории обыкновенных дифференциальных уравнений. / – М.: “Наука”, 1978. – 302с.
4. Современные проблемы математики. Динамические системы – 2./ – М.: ВИНТИ, 1985. – 312 с.
5. Р. Боуэн Методы символической динамики / М: Мир, 1989. – 540 с.
6. Milnor J. On the concept of attractor. /Commune. Math. Phys., 1995 – 99 – № 2, p. 177 – 196
7. В. С. Афраймович, В. В. Быков, Л. П. Шильников О возникновении и структуре аттрактора Лоренца / ДАН СССР, 1977 – т. 234 – № 2, с. 336 – 339
8. Lanford O. E. Computer Pictures of the Lorenz Attractor / Lect. Notes in Math., 1997 – № 615, p. 113 – 116
9. Л.Д. Фаддеев, О.А. Якубовский Лекции по квантовой механике / Л: Издательство ленинградского университета, 1980. – 198 с.
10. Бенинга Ш. Финансовое моделирование с использованием EXCEL – М: “Вильямс”, 2007. – 592с.
11. М. Хаертфельдер, Е. С. Лозовская, Е. Хануш Фундаментальный и технический анализ рынка ценных бумаг. – СПб.: “Питер”, 2004. – 478с.

Рецензент: Львов М.С.